



Corso di Robotica 1

Cinematica inversa

Prof. Alessandro De Luca

DIPARTIMENTO DI INFORMATICA
E SISTEMISTICA ANTONIO RUBERTI



SAPIENZA
UNIVERSITÀ DI ROMA



Problema cinematico inverso

- “data una posa (posizione + orientamento) dell’end-effector **determinare** l’insieme di valori delle variabili di giunto che la realizza”
- problema di **sintesi**, con dati nella forma:

$$\blacksquare T = \begin{bmatrix} R & p \\ \hline 000 & 1 \end{bmatrix} \quad \blacksquare r = \begin{bmatrix} p \\ \phi \end{bmatrix}$$

- tipico problema **nonlineare**
 - **esistenza** soluzione (definizione **workspace**)
 - unicità/**molteplicità** soluzione
 - **metodi** di risoluzione



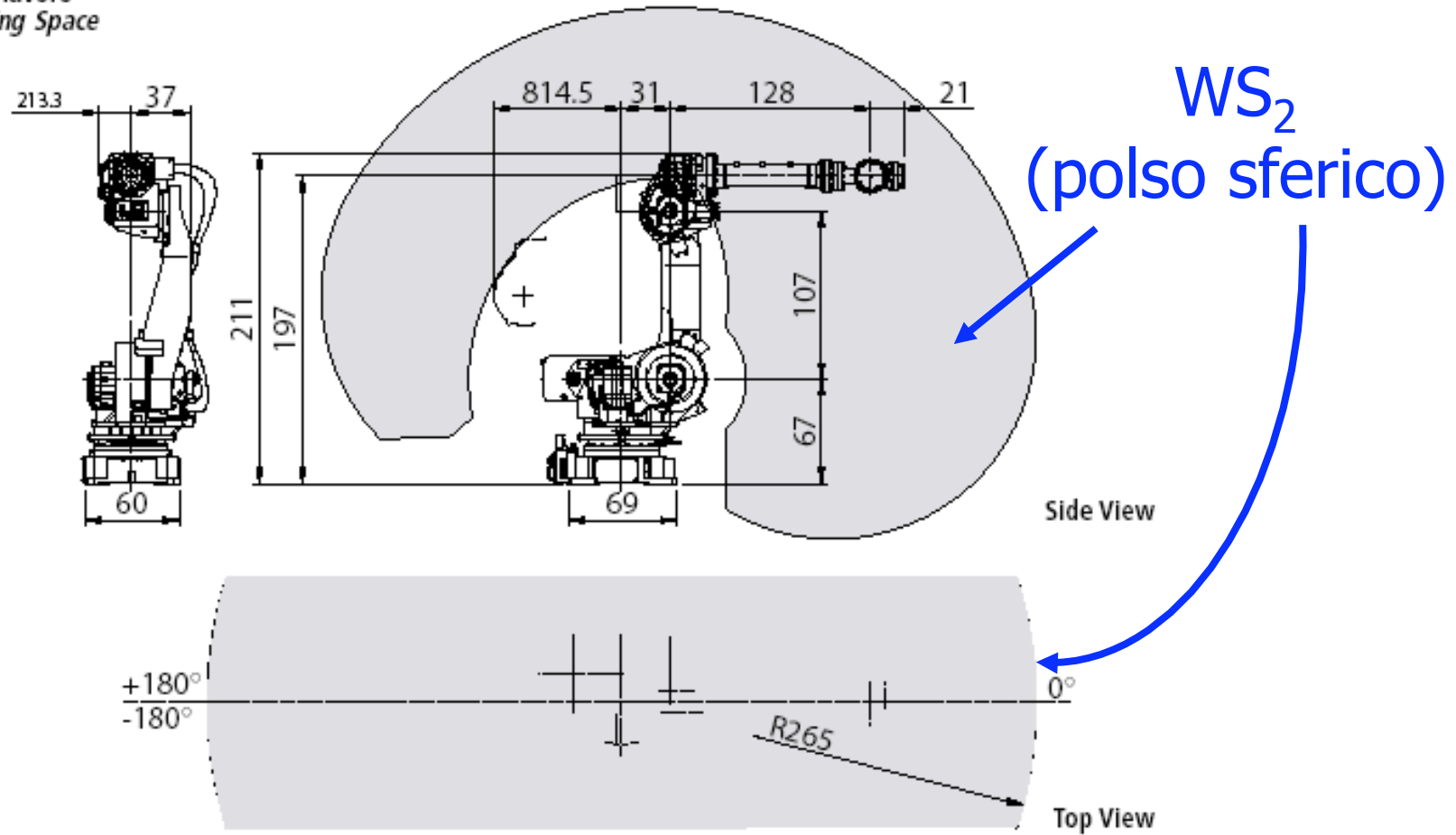
Risolubilità e spazio di lavoro

- **workspace primario WS_1** : insieme dei punti p raggiungibili con almeno un orientamento (ϕ o R)
 - fuori da WS_1 il problema non ha soluzione
 - per $p \in WS_1$ e ϕ (o R) opportuno esiste almeno una soluzione
- **workspace secondario WS_2 (o *di destrezza*)**: insieme dei punti p raggiungibili con qualsiasi orientamento (tra quelli realizzabili dal robot)
 - per $p \in WS_2$ esiste almeno una soluzione per ogni ϕ (o R)
- $WS_2 \subseteq WS_1$

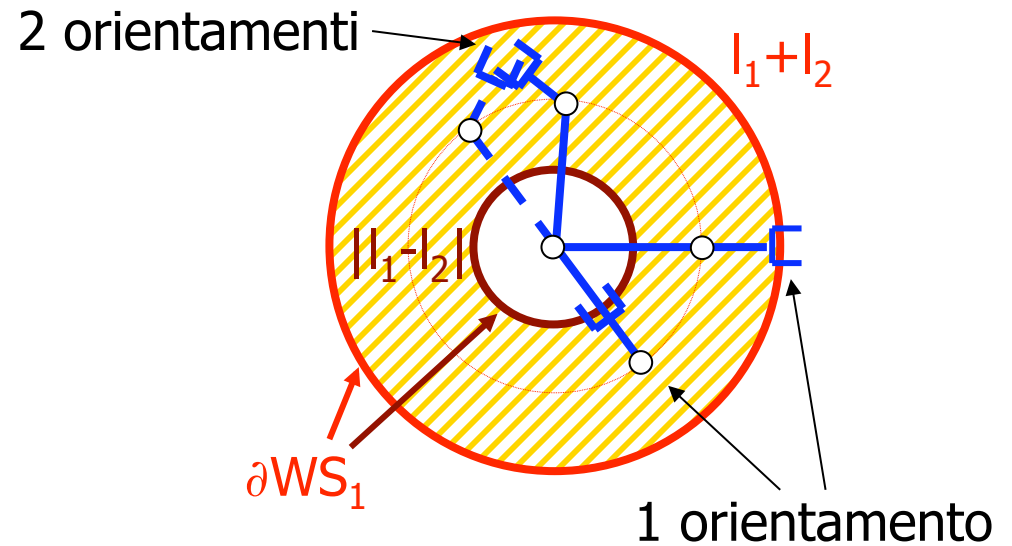
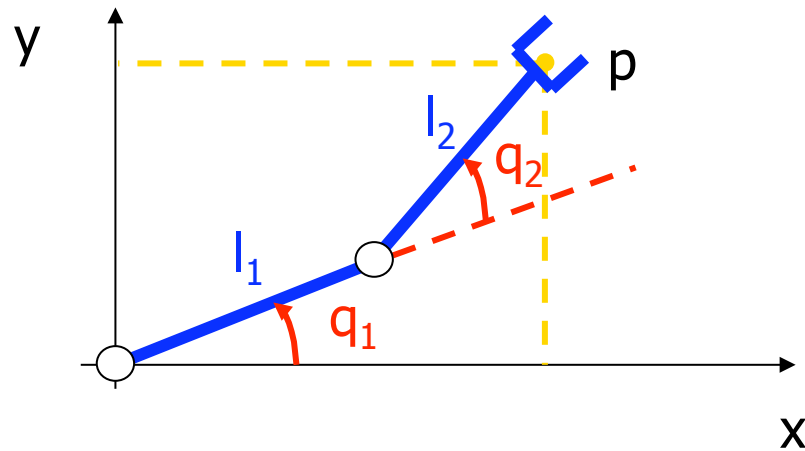
Spazio di lavoro Fanuc R-2000i/165F



Area di lavoro
Operating Space



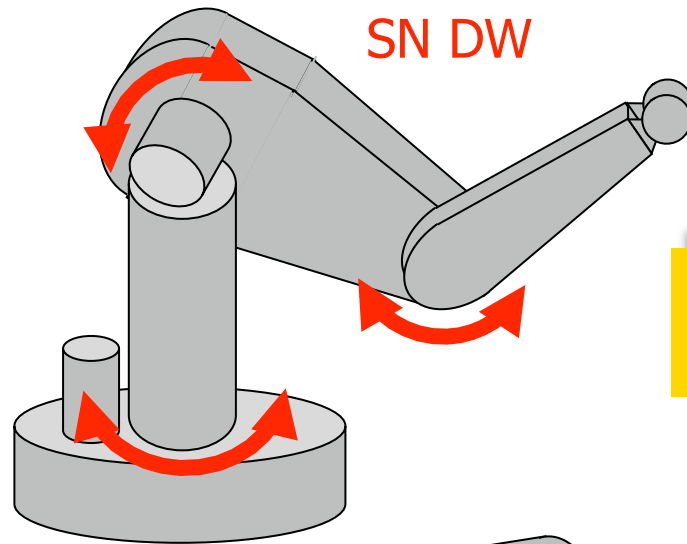
Spazio di lavoro robot 2R planare



- if $l_1 \neq l_2$
 - $WS_1 = \{p \in \mathbb{R}^2: |l_1 - l_2| \leq \|p\| \leq l_1 + l_2\}$
 - $WS_2 = \emptyset$
- if $l_1 = l_2 = \ell$
 - $WS_1 = \{p \in \mathbb{R}^2: \|p\| \leq 2\ell\}$
 - $WS_2 = \{p = 0\}$ (infiniti orientamenti possibili all'origine)



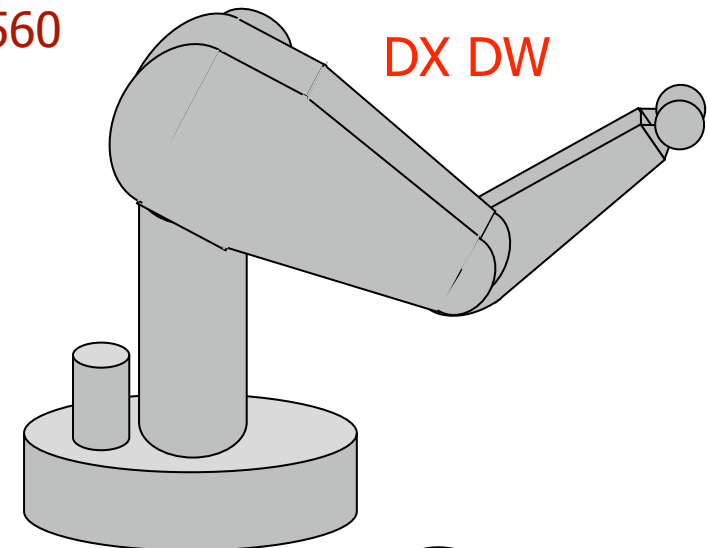
Posizionamento robot articolato



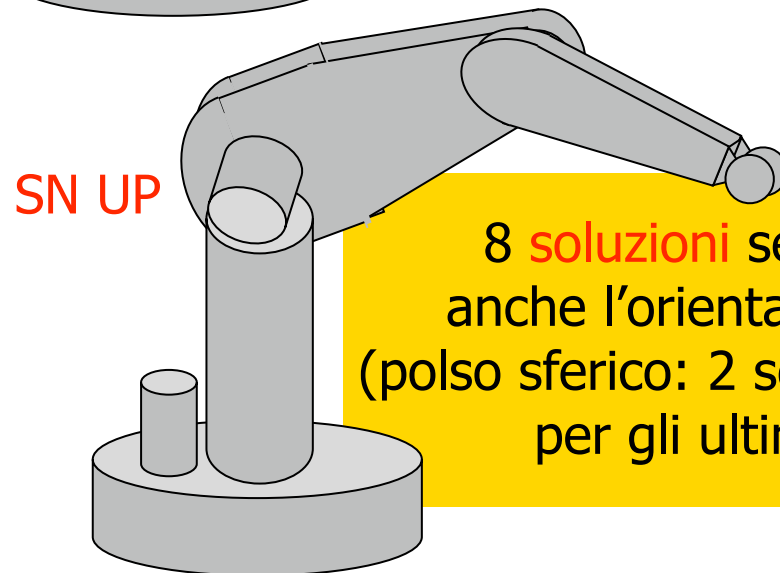
SN DW

Unimation PUMA 560

4 soluzioni fuori dalle singolarità

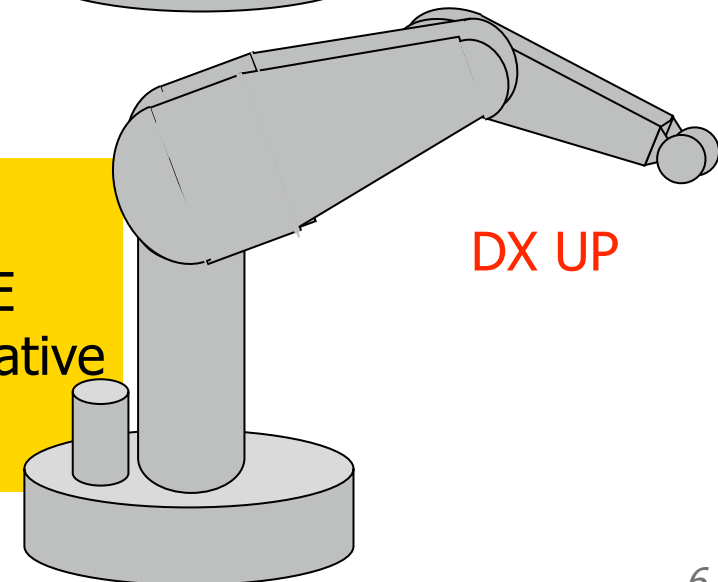


DX DW



SN UP

8 soluzioni se si considera anche l'orientamento dell'E-E (polso sferico: 2 soluzioni alternative per gli ultimi 3 giunti)



DX UP



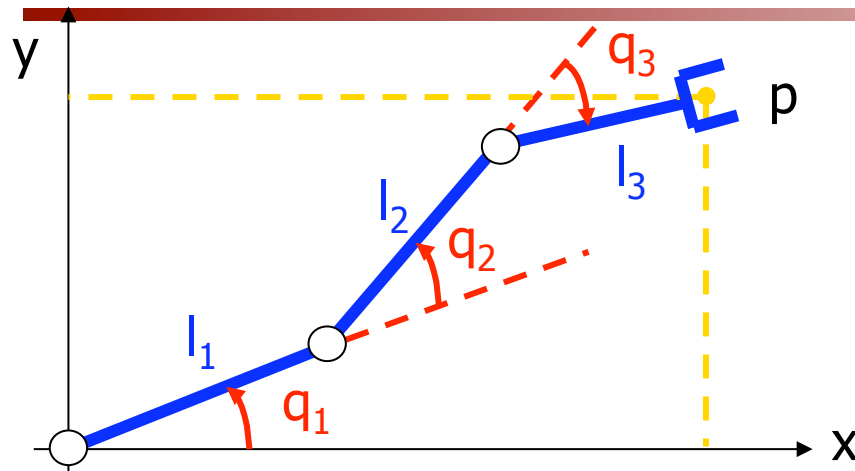
Molteplicità soluzioni

- posizionamento robot 2R planare
 - 2 soluzioni in WS_1
 - 1 soluzione su ∂WS_1
 - per $l_1 = l_2$: ∞ soluzioni in WS_2
- posizionamento robot 3R articolato
 - 4 soluzioni in WS_1
- robot 6R
 - ≤ 16 soluzioni, fuori dalle singolarità: questo "upper bound" è effettivamente raggiunto da un particolare robot "ortogonale", cioè con $\alpha_i = 0, \pm\pi/2$ ($\forall i$)
 - analisi basata su trasformazioni algebriche della cinematica in una equazione polinomiale di grado più basso possibile

} singolari



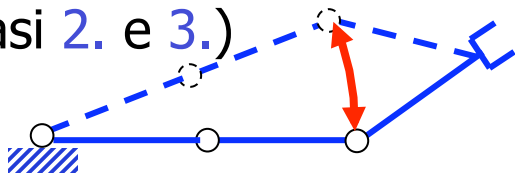


Spazio di lavoro robot 3R planare



$$l_1 = l_2 = l_3 = \ell$$

$$WS_1 = \{p \in \mathbb{R}^2: \|p\| \leq 3\ell\}$$

$$WS_2 = \{p \in \mathbb{R}^2: \|p\| \leq \ell\}$$

1. in WS_1 : ∞^1 soluzioni tutte "non singolari" (tranne casi 2. e 3.)
in cui l'E-E può assumere un *continuum* di ∞ orientamenti (ma non tutti!) 
2. if $\|p\| = 3\ell$: 1 soluzione singolare 
3. if $\|p\| = \ell$: ∞^1 soluzioni di cui 3 singolari 
4. if $\|p\| < \ell$: ∞^1 soluzioni mai singolari, qualsiasi orientamento (WS_2)

Molteplicità soluzioni

sommario generale dei casi



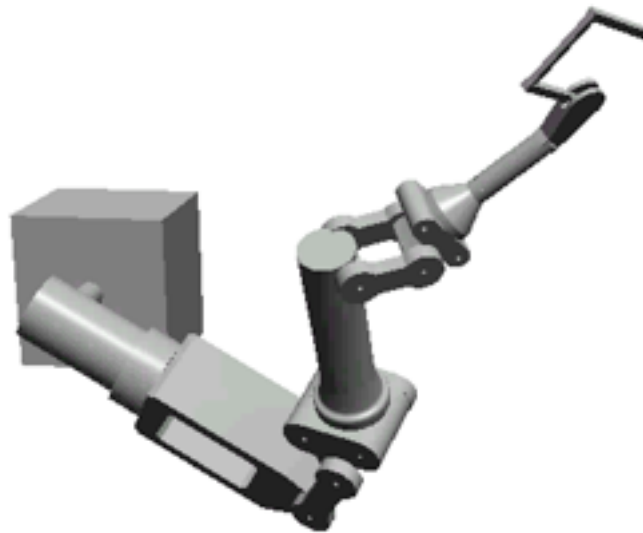
- se $m = n$
 - \neq soluzioni
 - soluzioni multiple in numero finito (caso generico)
 - infinite soluzioni degeneri o un numero finito diverso da quello generico (in singolarità)
- se $m < n$ (robot **ridondante** per il compito)
 - \neq soluzioni
 - ∞^{n-m} soluzioni
 - soluzioni singolari in numero finito o infinito



Robot Dexter 8R

- $m = 6$ (posizione e orientamento dell'organo terminale)
- $n = 8$ (tutti giunti rotatori)
- ∞^2 soluzioni cinematiche inverse (**ridondanza**)

video

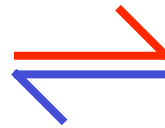


esplorazione delle soluzioni cinematiche inverse con un **auto-movimento**



Metodi di soluzione

soluzione ANALITICA
(in forma chiusa)



soluzione NUMERICA
(in forma iterativa)

- preferibile, se è possibile trovarla*
- ispezione geometrica ad hoc
- metodi algebrici (soluzione equazioni polinomiali*)
- metodi sistematici di generazione di set minimali di equazioni da risolvere
- necessaria se $n > m$ (ridondanti) o in singolarità
- più lenta, ma di facile derivazione
- richiede il calcolo dello Jacobiano analitico della cinematica diretta

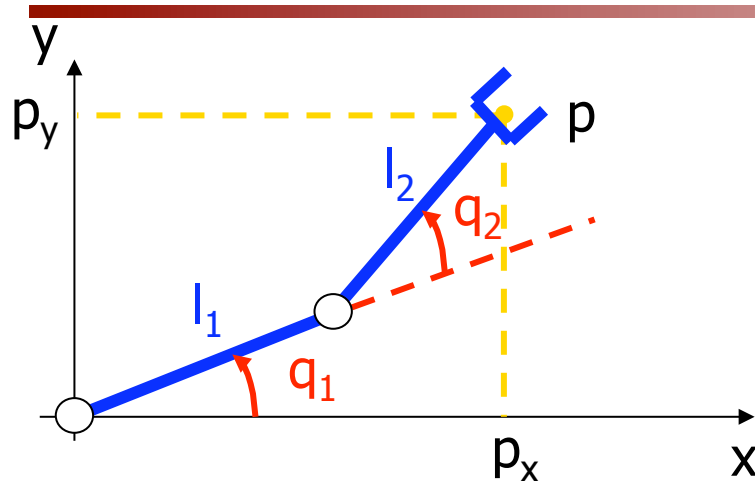
$$J_r(q) = \frac{\partial f_r(q)}{\partial q}$$

- * **condizioni sufficienti per un 6R**
 - 3 assi di giunto rotoidali consecutivi incidenti (es. polso sferico), oppure
 - 3 assi di giunto rotoidali consecutivi paralleli

- metodi di Newton, del gradiente, ecc.



Cinematica inversa 2R



cinematica diretta

$$p_x = l_1 c_1 + l_2 c_{12}$$

$$p_y = l_1 s_1 + l_2 s_{12}$$

$\underbrace{\quad}_{\text{dati}} \quad q_1, q_2 \text{ incognite}$

“quadrando e sommando” le equazioni della cinematica diretta

$$p_x^2 + p_y^2 - (l_1^2 + l_2^2) = 2 l_1 l_2 (c_1 c_{12} + s_1 s_{12}) = 2 l_1 l_2 c_2$$

da cui

$$c_2 = (p_x^2 + p_y^2 - l_1^2 - l_2^2) / 2 l_1 l_2, \quad s_2 = \pm \sqrt{1 - c_2^2},$$

deve essere in $[-1, 1]$ (altrimenti, è fuori dal workspace!)

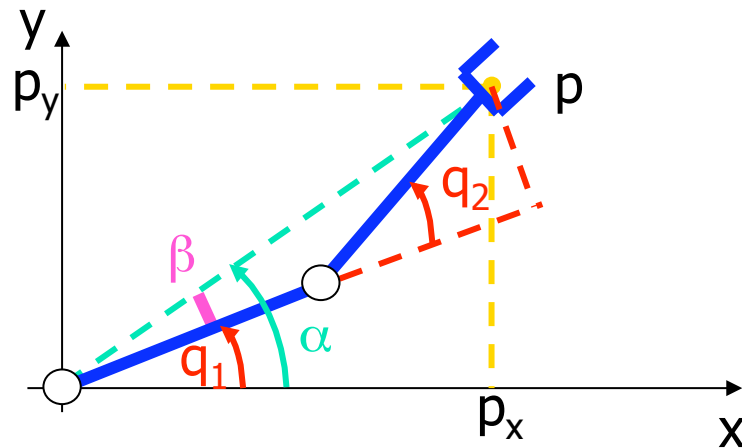
2 soluzioni

in forma analitica

$$q_2 = \text{ATAN2} \{s_2, c_2\}$$



Cinematica inversa 2R (continua)



per ispezione geometrica

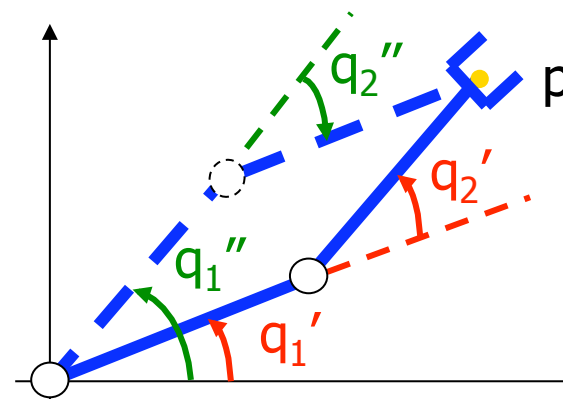
$$q_1 = \alpha - \beta$$

2 soluzioni
(una per ogni valore di s_2)

$$q_1 = \text{ATAN2} \{p_y, p_x\} - \text{ATAN2} \{l_2 s_2, l_1 + l_2 c_2\}$$

N.B. da riportare
eventualmente in $[-\pi, \pi]$!

$\{q_1, q_2\}_{\text{UP/LEFT}}$



$\{q_1, q_2\}_{\text{DW/RIGHT}}$

q_2' e q_2'' uguali in modulo e
opposti in segno



Soluzione (algebrica) alternativa

$$\left. \begin{aligned} p_x &= l_1 c_1 + l_2 c_{12} = l_1 c_1 + l_2 (c_1 c_2 - s_1 s_2) \\ p_y &= l_1 s_1 + l_2 s_{12} = l_1 s_1 + l_2 (s_1 c_2 + c_1 s_2) \end{aligned} \right\} \text{lineari in } s_1 \text{ e } c_1$$

$$\underbrace{\begin{bmatrix} l_1 + l_2 c_2 & -l_2 s_2 \\ l_2 s_2 & l_1 + l_2 c_2 \end{bmatrix}} \begin{bmatrix} c_1 \\ s_1 \end{bmatrix} = \begin{bmatrix} p_x \\ p_y \end{bmatrix}$$

$$\det = (l_1^2 + l_2^2 + 2 l_1 l_2 c_2) > 0$$

tranne per $l_1 = l_2$ e $c_2 = -1$
per cui q_1 non è definita

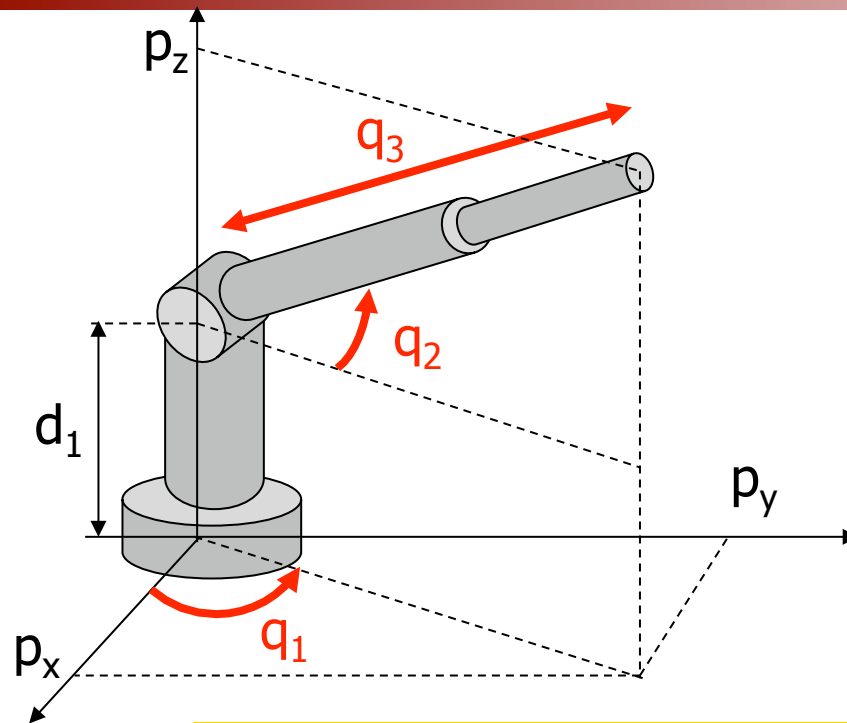
$$q_1 = \text{ATAN2} \{s_1, c_1\}$$

Note: a) automaticamente in $[-\pi, \pi]$!

b) in ATAN2, dalle espressioni di s_1 e c_1 si può togliere il $\det > 0$



Cinematica inversa robot polare



$$p_x = q_3 c_2 c_1$$

$$p_y = q_3 c_2 s_1$$

$$p_z = d_1 + q_3 s_2$$

$$p_x^2 + p_y^2 + (p_z - d_1)^2 = q_3^2$$

$$q_3 = + \sqrt{p_x^2 + p_y^2 + (p_z - d_1)^2}$$

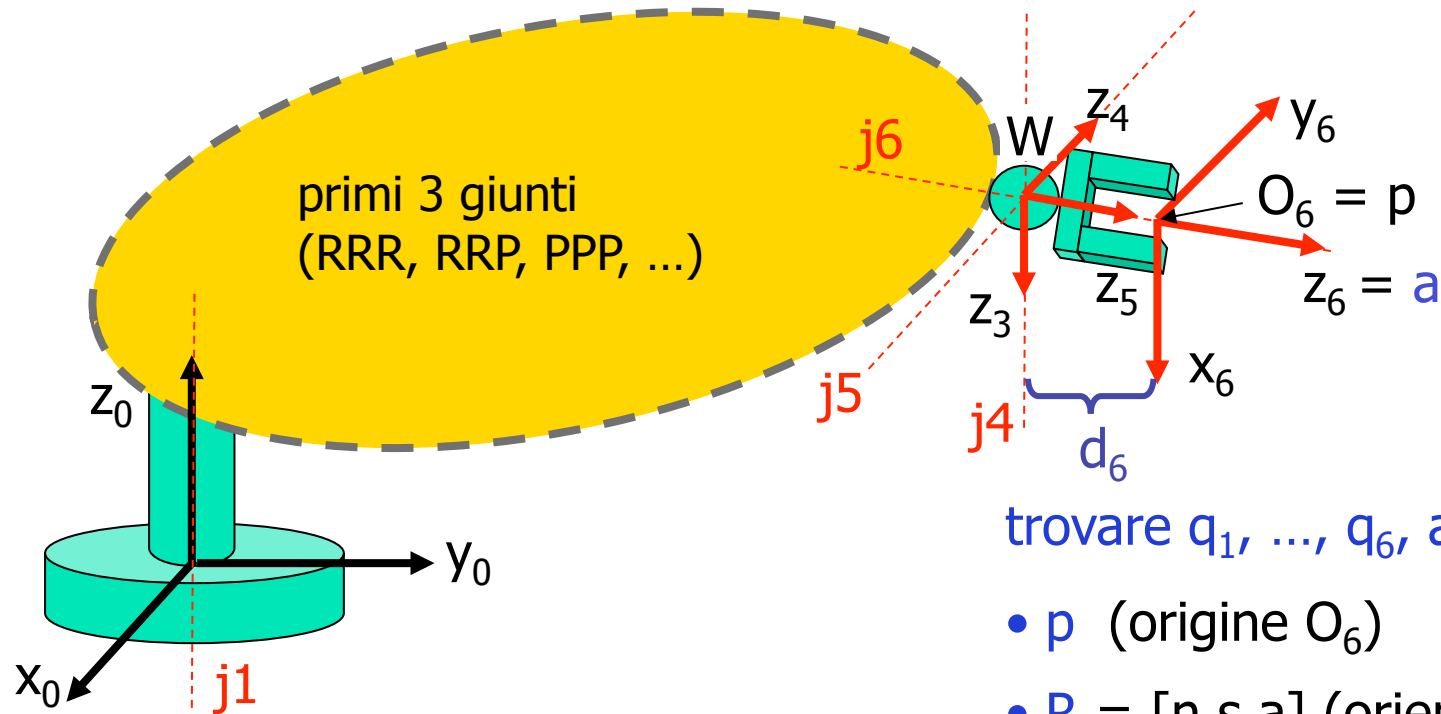
qui solo, $q_3 \geq 0$

$$q_2 = \text{ATAN2}\{(p_z - d_1)/q_3, \pm \sqrt{(p_x^2 + p_y^2) / q_3^2}\}$$

se $c_2 \neq 0$, $q_1 = \text{ATAN2}\{p_y/c_2, p_x/c_2\}$ (2 soluzioni $\{q_1, q_2, q_3\}$)

altrimenti, q_1 indeterminata (singolarità, ∞ soluzioni)

Cinematica inversa per robot con polso sferico



trovare q_1, \dots, q_6 , assegnati:

- p (origine O_6)
- $R = [n \ s \ a]$ (orientamento SR_6)

1. $W = p - d_6 a \rightarrow q_1, q_2, q_3$ (cinematica inversa struttura portante)
 2. $R = {}^0R_3(q_1, q_2, q_3) \underbrace{{}^3R_6(q_4, q_5, q_6)}_{\text{matrice di Eulero ZYZ o ZXZ}} \rightarrow q_4, q_5, q_6$ (cinematica inversa polso)
- ↑ data ↑ nota, dopo 1.



Esempio 6R: Unimation PUMA 600

polso
sferico

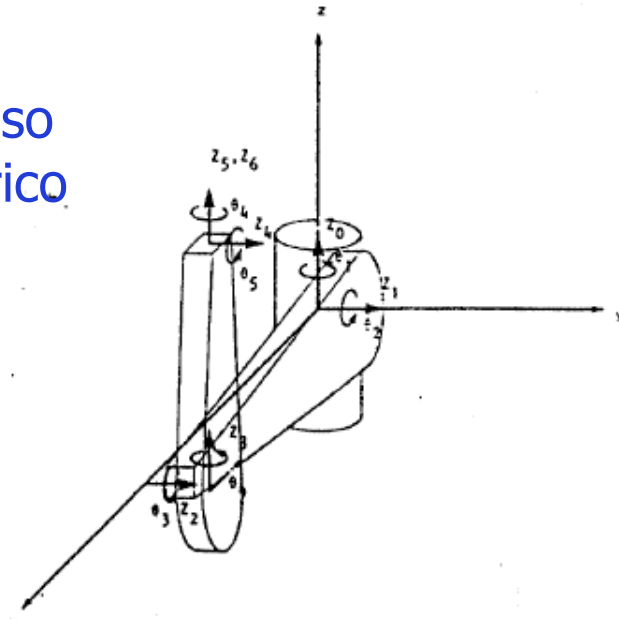


TABLE I
LINK PARAMETERS FOR PUMA ARM

Joint	α^a	θ^a	d	a	Range
1	-90°	θ_1	0	0	$\theta_1: +/ - 160^\circ$
2	0	θ_2	0	a_2	$\theta_2: +45^\circ - -225^\circ$
3	90°	θ_3	d_3	a_3	$\theta_3: 225^\circ - -45^\circ$
4	-90°	θ_4	d_4	0	$\theta_4: +/ - 170^\circ$
5	90°	θ_5	0	0	$\theta_5: +/ - 135^\circ$
6	0	θ_6	0	0	$\theta_6: +/ - 170^\circ$

$a_1 = 17.000$ $a_3 = 0.75$
 $d_3 = 4.937$ $d_4 = 17.000$

$$n_x = C_1[C_{23}(C_4C_5C_6 - S_4S_6) - S_{23}S_5C_6] - S_1[S_4C_5C_6 + C_4S_6]$$

$$n_y = S_1[C_{23}(C_4C_5C_6 - S_4S_6) - S_{23}S_5C_6] + C_1[S_4C_5C_6 + C_4S_6]$$

$$n_z = -S_{23}(C_4C_5C_6 - S_4S_6) - C_{23}S_5C_6$$

$$o_x = C_1[-C_{23}(C_4C_5S_6 + S_4C_6) + S_{23}S_5S_6] - S_1[-S_4C_5S_6 + C_4C_6]$$

$$o_y = S_1[-C_{23}(C_4C_5S_6 + S_4C_6) + S_{23}S_5S_6] + C_1[-S_4C_5S_6 + C_4C_6]$$

$$o_z = S_{23}(C_4C_5S_6 + S_4C_6) + C_{23}S_5S_6$$

$$a_x = C_1(C_{23}C_4S_5 + S_{23}C_5) - S_1S_4S_5$$

$$a_y = S_1(C_{23}C_4S_5 + S_{23}C_5) + C_1S_4S_5$$

$$a_z = -S_{23}C_4S_5 + C_{23}C_5$$

$$p_x = C_1(d_4S_{23} + a_3C_{23} + a_2C_2) - S_1d_3$$

$$p_y = S_1(d_4S_{23} + a_3C_{23} + a_2C_2) + C_1d_3$$

$$p_z = -(-d_4C_{23} + a_3S_{23} + a_2S_2)$$

0x_6

0y_6

0z_6

esistono **8 soluzioni inverse** in forma chiusa
(vedi Paul, Shimano, Mayer; 1981)

Soluzione numerica della cinematica inversa



- la soluzione analitica di $r = f(q)$ non esiste o è di difficile derivazione

- $J_r(q) = \frac{\partial f_r}{\partial q}$ (Jacobiano analitico)

- metodo di Newton (qui nel caso $m=n$)

- $r = f_r(q) = f_r(q^k) + J_r(q^k) (q - q^k) + o(\|q - q^k\|^2)$ ← si trascura

$$q^{k+1} = q^k + J_r^{-1}(q^k) [r - f_r(q^k)]$$

- converge se q^0 (stima iniziale) sufficientemente vicina a q^* : $f_r(q^*) = r$
 - ha problemi vicino alle singolarità dello Jacobiano $J_r(q)$
 - non si applica per robot ridondanti ($m < n$) [uso pseudoinversa $J_r^\#(q)$]
 - ha convergenza quadratica vicino alla soluzione (rapido!)

Soluzione numerica della cinematica inversa (continua)



- **metodo del gradiente** (massima discesa)

- si minimizza la funzione d'errore

$$H(q) = \frac{1}{2} \|r - f_r(q)\|^2 = \frac{1}{2} [r - f_r(q)]^T [r - f_r(q)]$$

$$q^{k+1} = q^k - \alpha \nabla_q H(q^k)$$

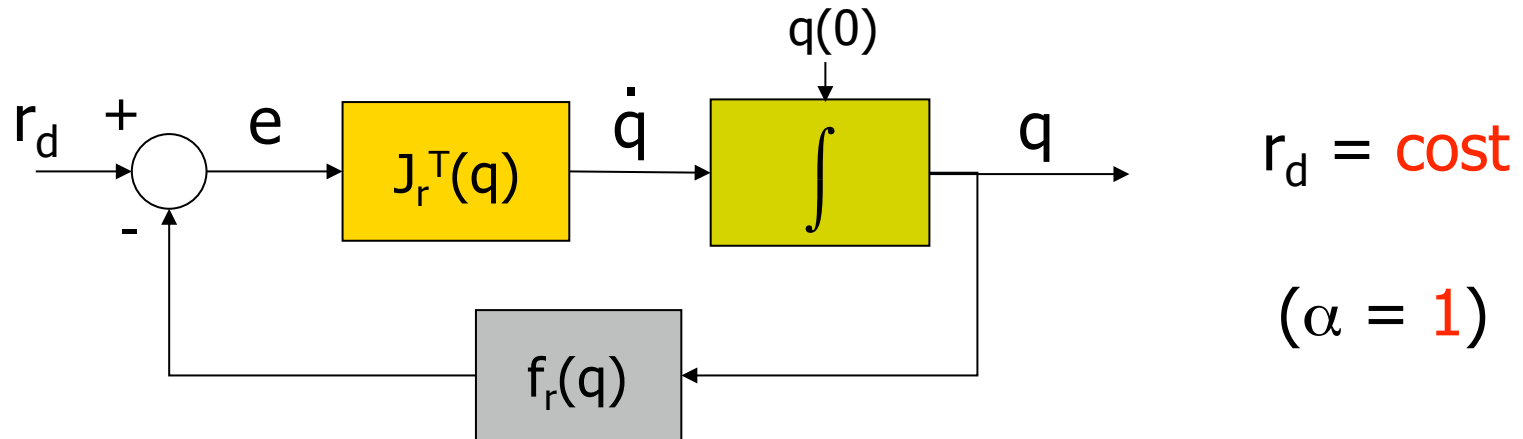
poiché $\nabla H(q) = -J_r^T(q) [r - f_r(q)]$, si ottiene

$$q^{k+1} = q^k + \alpha J_r^T(q^k) [r - f_r(q^k)]$$

- il passo α deve garantire che la funzione d'errore decresca ad ogni passo (per α troppo grande si potrebbe "scavalcare" il minimo)
- per α troppo piccolo, la convergenza è eccessivamente lenta



Interpretazione in "feedback"



$e = r_d - f_r(q) \rightarrow 0 \Leftrightarrow$ sistema ad anello chiuso asintoticamente stabile

$V = \frac{1}{2} e^T e \geq 0$ candidata di Lyapunov

$$\dot{V} = e^T \dot{e} = e^T \frac{d}{dt} (r_d - f_r(q)) = -e^T J_r \dot{q} = -e^T J_r J_r^T e \leq 0$$

$$\dot{V} = 0 \Leftrightarrow e \in \text{Ker}(J_r^T) \quad \text{in particolare } e = 0$$

asintotica stabilità

Proprietà dello schema con gradiente



- più semplice dal punto di vista computazionale [**Jacobiano trasposto**, anziché (pseudo)-invertito]
- si applica direttamente anche a robot ridondanti
- può non convergere a una soluzione, ma non diverge **mai**
- l'evoluzione della stima a **tempo discreto** è data da

$$q^{k+1} = q^k + \Delta T J_r^T(q^k) [r - f(q^k)]$$

che equivale a un passo del metodo del gradiente (con $\alpha = \Delta T$)

- si può accelerare con una matrice di guadagno $K > 0$, ponendo

$$\dot{q} = J_r^T(q) K e$$

nota: K può usarsi per "uscire" da una situazione di stallo in un **minimo locale**: permette la rotazione dell'errore e fuori dal nucleo di J_r^T (se si è incontrata una singolarità)



Considerazioni aggiuntive

- uno schema numerico efficiente coinvolge:
 - iterazioni **iniziali** con il gradiente (convergenza "sicura", ma più lenta = lineare) e **finali** con Newton (convergenza terminale con tasso quadratico)
 - scelte
 - inizializzazione q^0 (genera **una** sola delle soluzioni)
 - passo ottimale α nel metodo del gradiente
 - criteri di arresto

$$\|r - f(q^k)\| \leq \varepsilon$$

errore cartesiano
(evtl. separato per
posizione e orientamento)

$$\|q^{k+1} - q^k\| \leq \varepsilon_q$$

incremento
dell'algoritmo

$$\sigma_{\min}\{J(q^k)\} \geq \sigma_0$$

condizionamento
dello Jacobiano (SVD)